

O Pipeline de Renderização

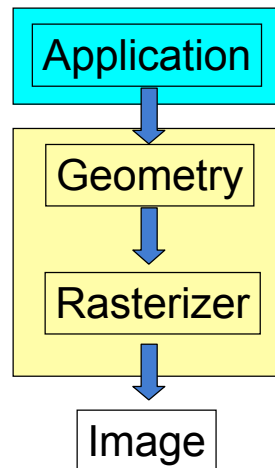
Computação Gráfica
Marcelo Walter – UFPE

The Graphics Pipeline

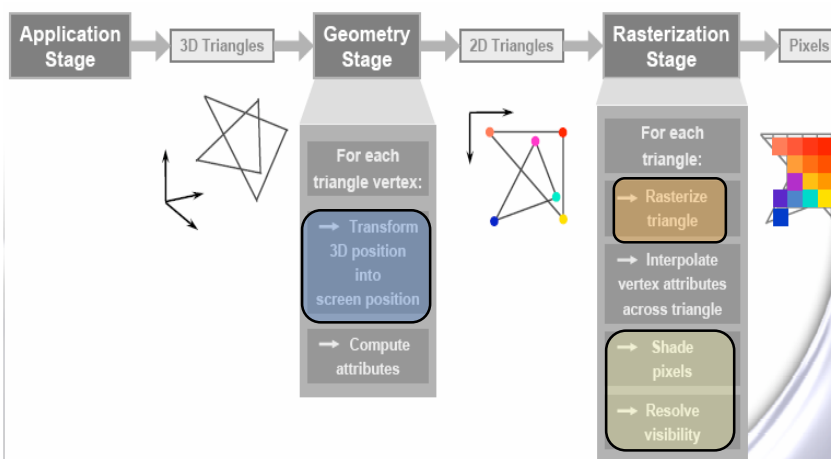
- Processo de sintetizar imagens bidimensionais a partir de câmeras e objetos virtuais
- Visão em alto nível inicial para aprofundarmos nas próximas aulas

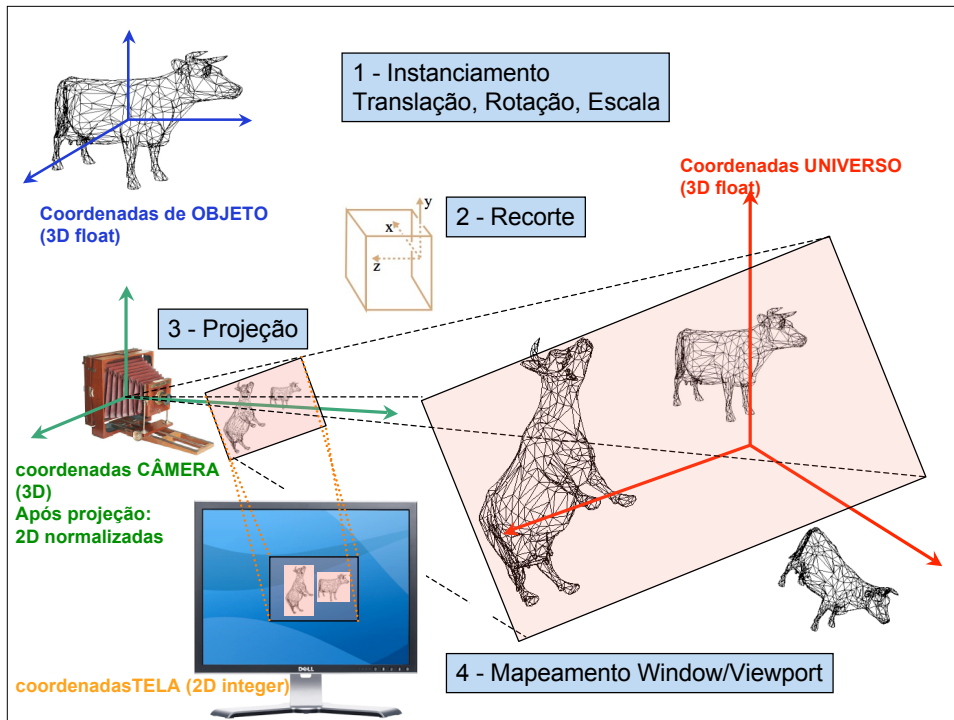
The Graphics Pipeline

- Três estágios conceituais
- O desempenho é determinado pelo estágio mais lento
- Sistemas gráficos modernos:
 - software: 
 - hardware: 



The Graphics Pipeline





Resumo

Transformações
Modelagem

Iluminação
(*Shading*)

Transformação
Câmera

Recorte

Map. Tela

Rasterização

Visibilidade

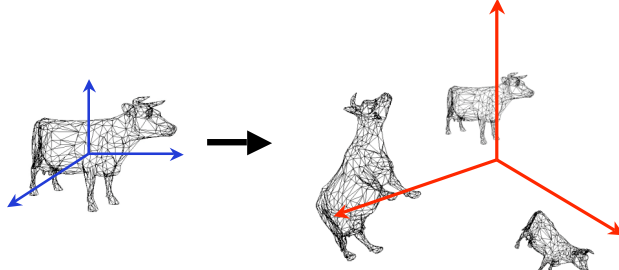
Adaptação e melhoramentos de uma aula sobre o mesmo assunto (MIT - EECS 6.837 Durand and Cutler)

Resumo

- Transformações Modelagem
- Iluminação (*Shading*)
- Transformação Câmera
- Recorte
- Map. Tela
- Rasterização
- Visibilidade

✓Objetos definidos no seu próprio sistema de coordenadas

✓Transformações de modelagem orientam os modelos geométricos num sistema comum de coordenadas (UNIVERSO)



Coordenadas Objeto
Coordenadas Universo

Resumo

- Transformações Modelagem
- Iluminação (*Shading*)
- Transformação Câmera
- Recorte
- Map. Tela
- Rasterização
- Visibilidade

✓Vértices iluminados de acordo com as propriedades geométricas e de material

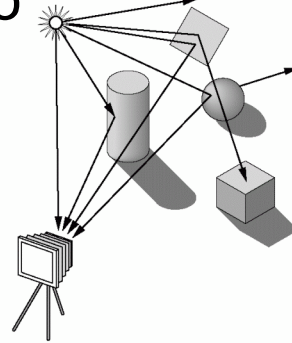
✓Modelo de Iluminação Local (Flat, Gouraud)



Modelo de Iluminação

Objetivo principal

Cálculo de iluminação nos vértices baseando-se na posição, orientação e características das superfícies e fontes de luz que as iluminam



Posteriormente Modelos de Sombreamento

Cálculo de iluminação nos demais pixels que compõe o triângulo a partir das cores nos vértices

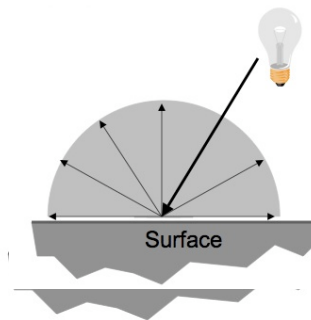
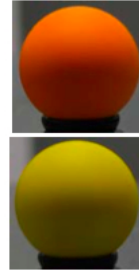


Considerações Iniciais

- Um comprimento de onda apenas (monocromático)
- Fontes de luz pontuais (uma direção basicamente)
- Uma fonte de luz apenas

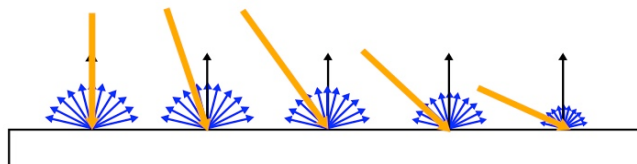
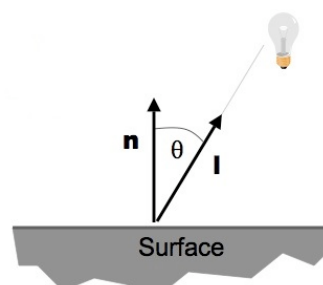
Reflexão Difusa Ideal

- Luz refletida igualmente em todas as direções
- Exemplos: giz, quadro-negro, algumas tintas



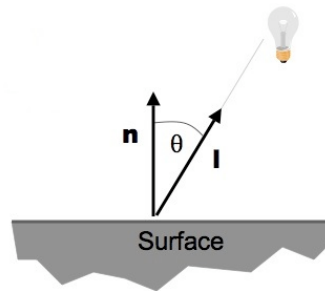
Lei dos Cossenos de Lambert

- Intensidade da reflexão difusa é proporcional ao cosseno do ângulo entre a fonte de luz e a normal da superfície



Computacionalmente...

- $I_d = I_p \cdot k_d \cdot \cos \theta$
- $\cos \theta = (n \cdot l)$
Produto escalar dos 2 vetores NORMALIZADOS
- I_p = intensidade da fonte de luz
- k_d = coeficiente de quão **difuso** é o objeto [0,1]



Reflexão Difusa – Exemplos

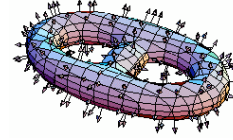


Kd= 0.4 Kd= 0.55 Kd= 0.7 Kd= 0.85 Kd= 1

menos difuso

mais difuso

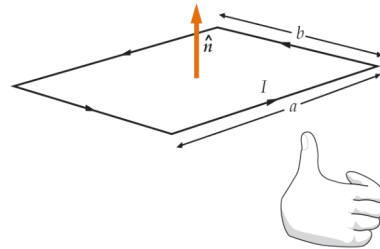
Vetor Normal



- Fundamental nos cálculos de iluminação
- Em OpenGL

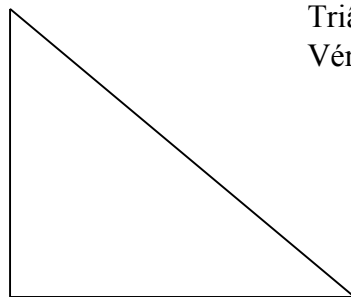
```
glNormal3f( nx, ny, nz );
```

- Consistência na especificação (apontando “para fora”)



Exemplo

T(0,5,0)



P (0,0,0)

Q (5,0,0)

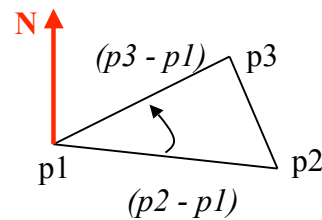
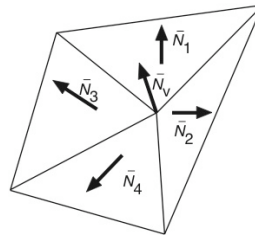
Triângulo A
Vértices PQT

Triângulo B
Vértices PTQ

Qual enumeração é
correta?

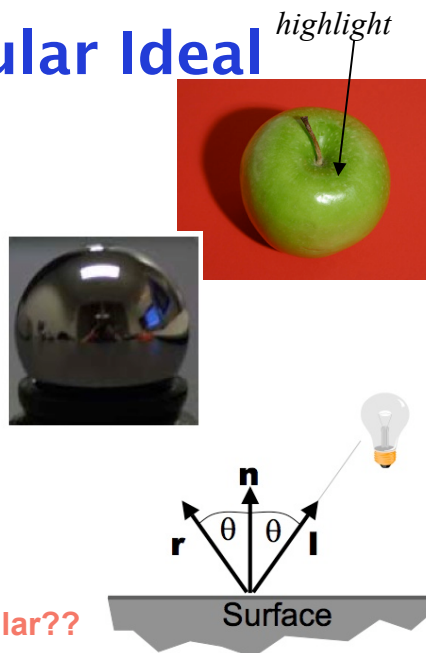
Aproximando o Vetor Normal

- Cálcula-se para as faces e após, média das faces encontra a normal do vértice
- Para uma face: produto vetorial de vetores a partir das arestas



Reflexão Especular Ideal

- Efeito visual que devolve a energia luminosa numa direção preferencial
- Depende da posição do observador
- ângulo de incidência = ângulo de reflexão



Qual a cor do reflexo especular??

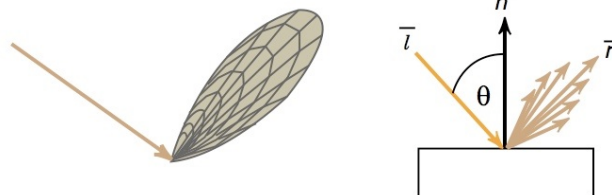
Reflexão Especular não-ideal



- Reflexão apresenta distribuição ao redor da direção ideal

Reflexão Especular não-ideal

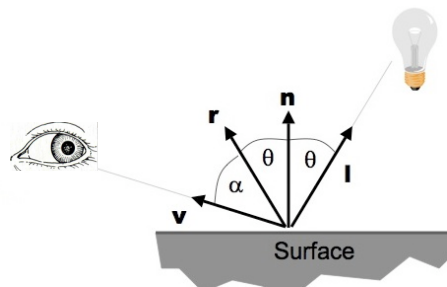
- Modelo empírico simples proposto por *Phong* [1975]*
- A reflexão especular varia pouco ao redor da direção especular pura



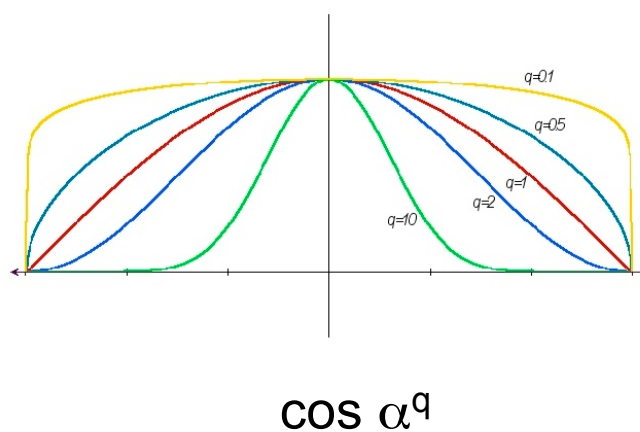
*Phong tem duas contribuições importantes em CG. Esta é a primeira. A outra está relacionada com Modelo de Iluminação para polígonos, veremos adiante.

Computacionalmente...

- $I_s = I_p \cdot k_s \cdot \cos \alpha^q$
- $\cos \alpha = (r \cdot v)$
Produto escalar dos 2 vetores NORMALIZAD
- I_p = intensidade da fonte de luz
- k_s = coeficiente de quão *especular* é o objeto $[0, \infty..]$, na prática algumas centenas

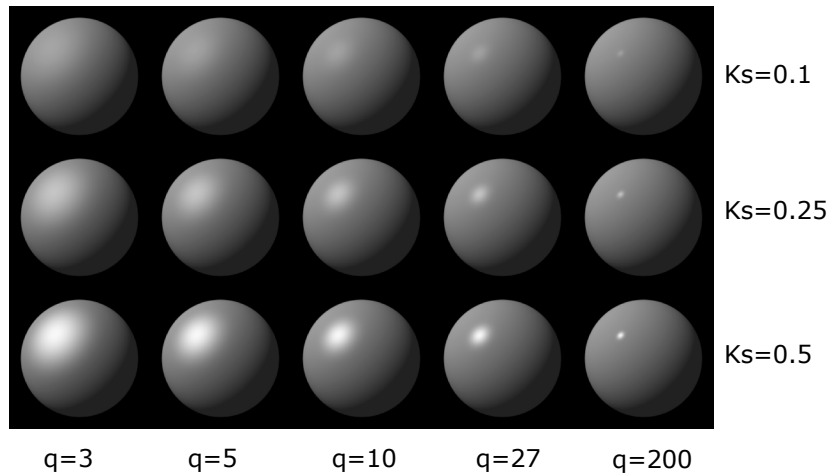


Expoente especularidade Phong

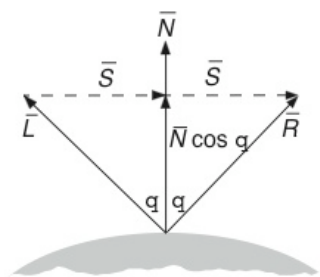


Reflexão Especular

$K_d=0.45$



Como calcular R?



Todos vetores unitários

$$\vec{R} = \vec{N} \cos q + \vec{S}$$

$$\vec{S} = \vec{N} \cos q - \vec{L}$$

$$\vec{R} = 2 \vec{N} \cos q - \vec{L}$$

$$\cos q = (\vec{N} \cdot \vec{L})$$

$$\vec{R} = 2\vec{N}(\vec{N} \cdot \vec{L}) - \vec{L}$$

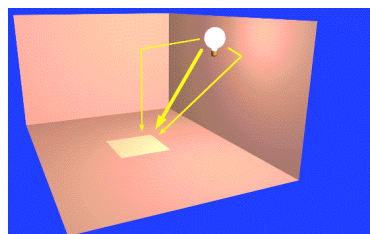
Múltiplas Fontes de Luz

- Existindo m fontes de luz, basta somarmos os termos de cada fonte de luz
- Qual um problema em potencial desta abordagem??

Qual a solução de OpenGL?
“...the color values are clamped to the range [0, 1].” (Red book, p. 205)

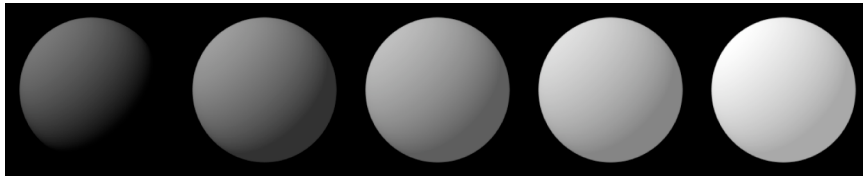
Luz Ambiente

- Fonte de luz sem direção específica. Aproxima (muito mal...) as múltiplas reflexões entre as superfícies presentes no ambiente
- Conhecida como luz ambiente
 - ♦ $I = I_a \cdot K_a$
 - I_a – intensidade da luz ambiente
 - K_a – coeficiente de reflexão ambiente



Componente Ambiente

$I_a = I_p = 1.0$, $K_d = 0.4$



$K_a = 0.0$

$K_a = 0.015$

$K_a = 0.3$

$K_a = 0.45$

$K_a = 0.6$

Luz Ambiente



Aqui não tem componente difusa...

Colocando tudo junto...

Considerando vetores normalizados e m fontes de luz:

$$I = I_a k_a + \sum \{I_{pm} [k_d(N.L) + k_s(R.V)^q]\}$$

Colocando tudo junto...

agora com cores

$$I_\lambda = I_{a\lambda} k_{a\lambda} + \sum \{I_{m\lambda} [k_{d\lambda}(N.L) + k_{s\lambda}(R.V)^q]\}$$

$\lambda = (R,G,B)$

Transformações Modelagem

Iluminação (Shading)

Transformação Câmera

Recorte

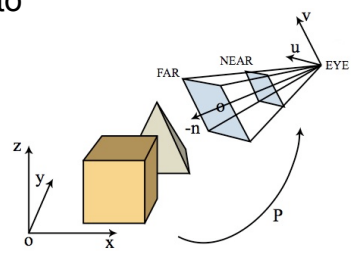
Map. Tela

Rasterização

Visibilidade

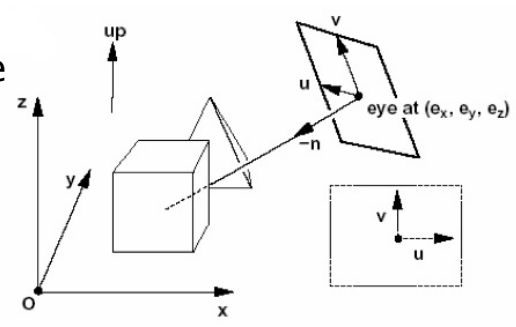
✓ Mapeamento de coordenadas de Universo para câmera

✓ Escolha da projeção: perspectiva ou ortográfica



Sist. Coordenadas Câmera (SCC)

- Envolve uma translação à origem do sistema e uma mudança de base ortogonal



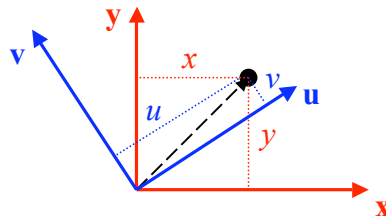
Definindo o Sistema de Coordenadas de Câmera – SCC

- Precisamos especificar:
 - ♦ Origem do SCC: ponto qualquer no espaço
 - ♦ Direção para onde a câmera está apontando
 - ♦ Direção “para cima”: *up vector*
- A partir destas três informações um sistema de coordenadas ortogonal pode ser estabelecido
- Ver por exemplo: *Foley et al. Introduction to Computer Graphics. p. 201*

Definindo SCC

- Transformar as coordenadas, ou seja, dado os sistemas de coordenadas xyz e uvn e um ponto $p=(x,y,z)$ encontrar $p=(u,v,n)$

Em 2D esquematicamente:



Definindo SCC

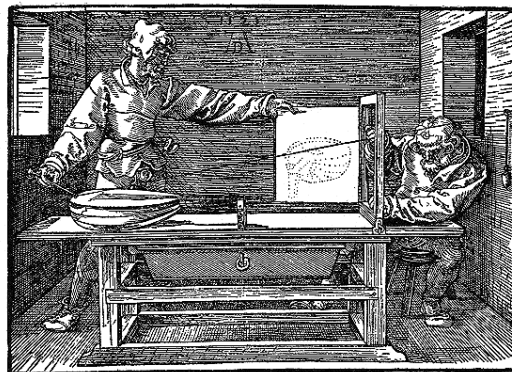
$$\begin{pmatrix} u \\ v \\ n \end{pmatrix} = \begin{pmatrix} u_x & u_y & u_z \\ v_x & v_y & v_z \\ n_x & n_y & n_z \end{pmatrix} \begin{pmatrix} x \\ y \\ z \end{pmatrix}$$

- Onde $u_x = \mathbf{x} \cdot \mathbf{u}$, $u_y = \mathbf{y} \cdot \mathbf{u}$, $u_z = \mathbf{z} \cdot \mathbf{u}$ etc

Prodoto escalar

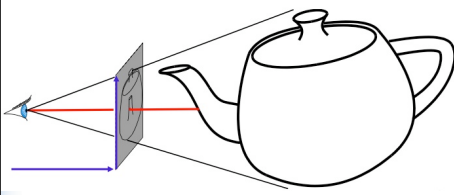
Volume de Visualização

- Finalmente, precisamos definir uma área do espaço que será considerada
- Somente os objetos dentro do volume serão considerados
- Implica definirmos um tipo de **PROJEÇÃO**



Albrecht Durer doing perspective projections in 1525.
<http://www.viewmuseum.com/>

Projeções



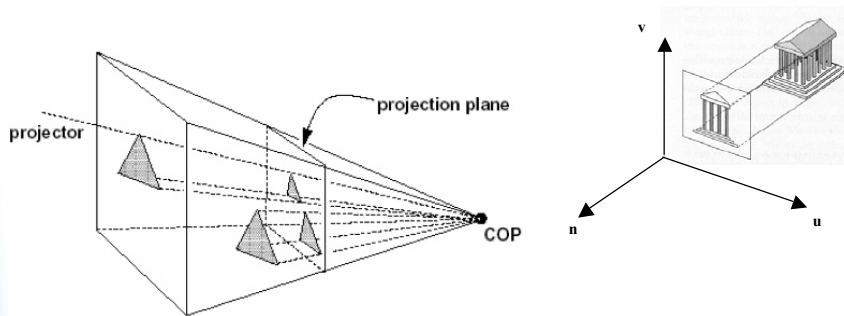
- Genericamente, projeções transformam pontos em um sistema de coordenadas com N dimensões em pontos num sistema com dimensão menor do que N
- Para nós interessa apenas o caso de **3D -> 2D**

Projeções

- Uso de linhas de projeção, denominadas *raios de projeção*
- Origem em um *centro de projeção* (COP) e passam por cada parte do objeto (no nosso caso vértices) interseccionando um *plano de projeção* onde finalmente tem-se as coordenadas 2D

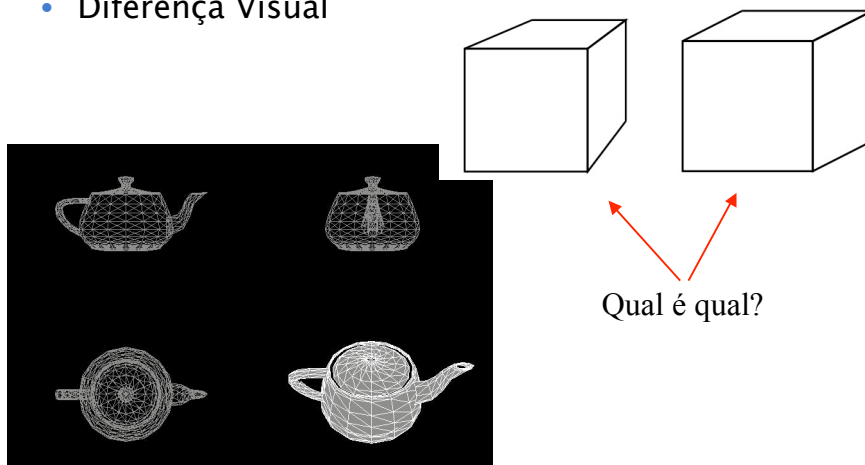
Tipos de Projeções

- Em CG 2 tipos: *perspectiva* e *ortográfica*
- Diferença: na projeção ortográfica o COP está no infinito, logo os raios de projeção são paralelos uns aos outros



Tipos de Projeções

- Diferença Visual

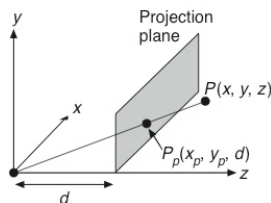


Obtendo Coordenadas de Projeção

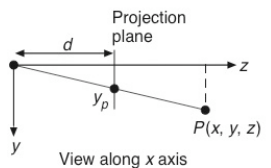
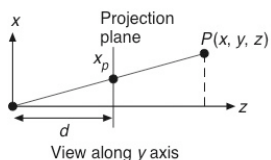
- Precisamos “livrar-nos” de uma dimensão
- Para projeções *ortográficas* é simples:
 - ♦ Basta descartarmos a coordenada equivalente a n no SCC (assumindo o plano de projeção em $n = 0$)

$$\begin{pmatrix} x \\ y \\ 0 \\ 1 \end{pmatrix} = \begin{pmatrix} 1 & 0 & 0 & 0 \\ 0 & 1 & 0 & 0 \\ 0 & 0 & 0 & 0 \\ 0 & 0 & 0 & 1 \end{pmatrix} \begin{pmatrix} x \\ y \\ z \\ 1 \end{pmatrix}$$

Obtendo Coordenadas de Projeção

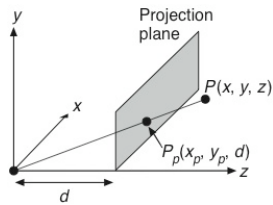


- Para projeções perspectivas?
- Assumindo que o plano de projeção encontra-se perpendicular ao eixo n do SCC e a uma distância d
- Por semelhança de triângulos temos:



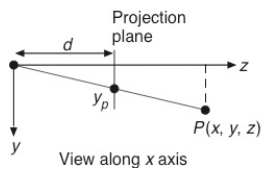
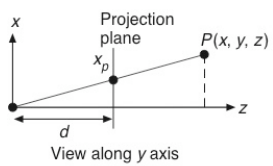
$$\frac{x_p}{d} = \frac{x}{z} \quad \frac{y_p}{d} = \frac{y}{z}$$

Obtendo Coordenadas de Projeção



$$x_p = \frac{d \cdot x}{z} = \frac{x}{z/d} \quad y_p = \frac{d \cdot y}{z} = \frac{y}{z/d}$$

matricialmente:



homogenize

$$\begin{pmatrix} x * d / z \\ y * d / z \\ d \\ 1 \end{pmatrix} = \begin{pmatrix} x \\ y \\ z \\ z / d \end{pmatrix} = \begin{pmatrix} 1 & 0 & 0 & 0 \\ 0 & 1 & 0 & 0 \\ 0 & 0 & 1 & 0 \\ 0 & 0 & 1/d & 0 \end{pmatrix} \begin{pmatrix} x \\ y \\ z \\ 1 \end{pmatrix}$$

Resumo

Transformações Modelagem

Iluminação (Shading)

Transformação Câmera

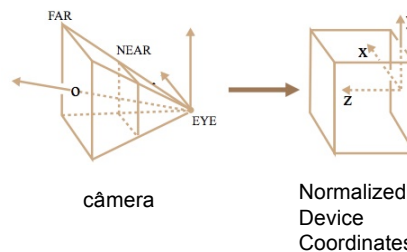
Recorte

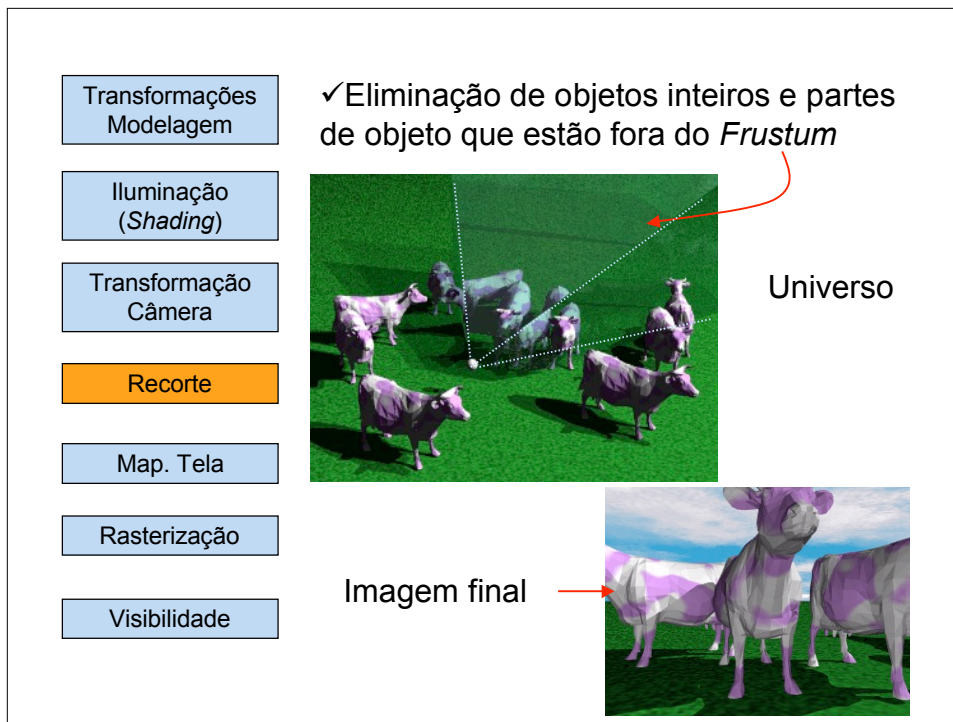
Map. Tela

Rasterização

Visibilidade

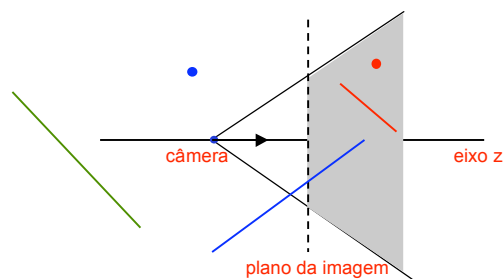
✓ Transformação para Coordenadas Normalizadas





Estratégias para Recorte

- Recortar durante a rasterização (livro do Foley chama de *scissoring*, recorte em 2D)
- Recorte analítico: altera a geometria 3D de entrada



Importância do Recorte

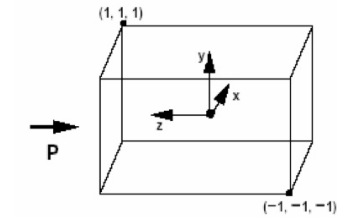
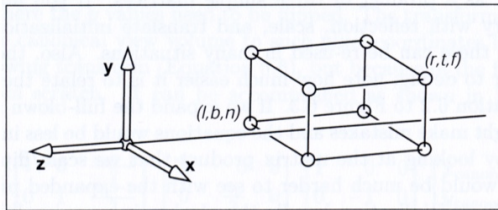
- Etapa de otimização
- Preprocessamento para determinação de visibilidade
 - ♦ Não exibe primitivas 'atrás' da câmera
- Garante que somente primitivas potencialmente visíveis serão rasterizadas

Coordenadas Normalizadas

- Vantagens
 - ♦ Recorte mais eficiente para um volume retangular, alinhado com os eixos (*Volume-padrão*)
 - ♦ *Frustum* tem geometria arbitrária
- Desvantagens
 - ♦ Como todos os pontos são transformados antes do recorte, provavelmente estaremos transformando pontos que posteriormente serão eliminados pelo recorte

Coordenadas Normalizadas

Projeção Ortográfica



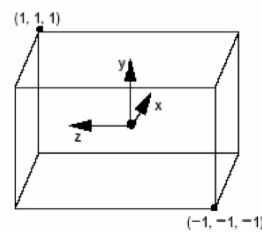
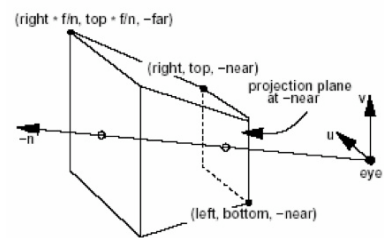
matriz de conversão*

*A obtenção desta matriz é um bom exercício de Álgebra :-)

$$\begin{bmatrix} x' \\ y' \\ z' \\ 1 \end{bmatrix} = \begin{bmatrix} \frac{2}{\text{right} - \text{left}} & 0 & 0 & \frac{-(\text{right} + \text{left})}{\text{right} - \text{left}} \\ 0 & \frac{2}{\text{bottom} - \text{top}} & 0 & \frac{-(\text{bottom} + \text{top})}{\text{bottom} - \text{top}} \\ 0 & 0 & \frac{2}{\text{far} - \text{near}} & \frac{-(\text{far} + \text{near})}{\text{far} - \text{near}} \\ 0 & 0 & 0 & 1 \end{bmatrix} \begin{bmatrix} x \\ y \\ z \\ 1 \end{bmatrix}$$

Coordenadas Normalizadas

Projeção Perspectiva



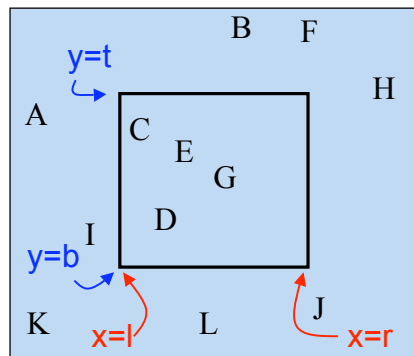
matriz de conversão*

$$\begin{bmatrix} x' \\ y' \\ z' \\ w \end{bmatrix} = \begin{bmatrix} \frac{2 \cdot \text{near}}{\text{right} - \text{left}} & 0 & \frac{-(\text{right} + \text{left})}{\text{right} - \text{left}} & 0 \\ 0 & \frac{2 \cdot \text{near}}{\text{bottom} - \text{top}} & \frac{-(\text{bottom} + \text{top})}{\text{bottom} - \text{top}} & 0 \\ 0 & 0 & \frac{\text{far} + \text{near}}{\text{far} - \text{near}} & \frac{-2 \cdot \text{near} \cdot \text{far}}{\text{far} - \text{near}} \\ 0 & 0 & 1 & 0 \end{bmatrix} \begin{bmatrix} x \\ y \\ z \\ 1 \end{bmatrix}$$

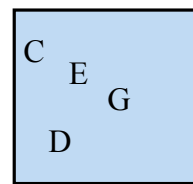
Algoritmos de recorte

(veremos em 2D primeiro e depois estendemos para 3D)

Recorte de pontos



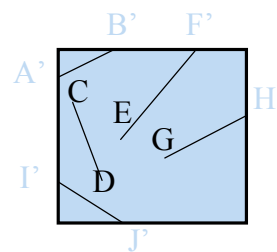
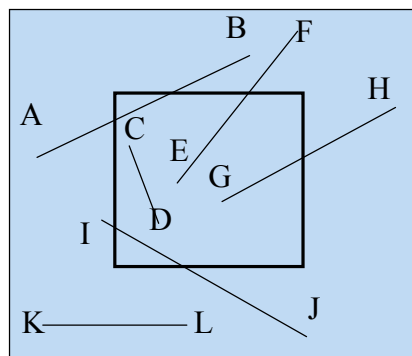
Qual a condição a ser satisfeita?



$$\begin{aligned} l &\leq x \leq r \\ b &\leq y \leq t \end{aligned}$$

Algoritmos de recorte

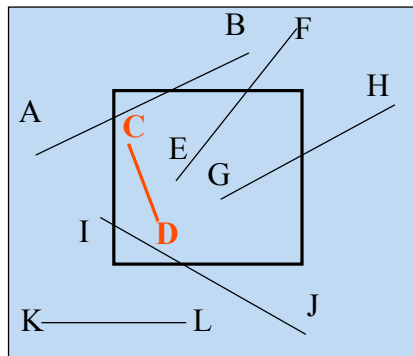
Recorte de linhas



Saída desejada

Algoritmos de recorte

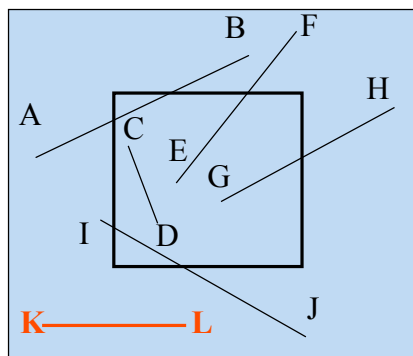
Recorte de linhas: Trivialmente aceito



Pontos estão dentro da janela

Algoritmos de recorte

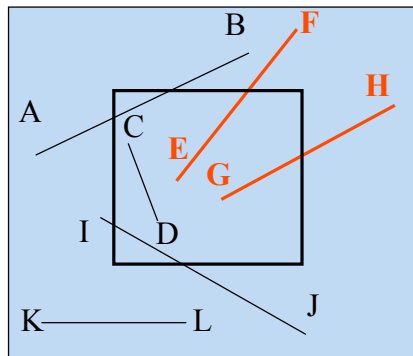
Recorte de linhas: Trivialmente recusado



Os dois pontos estão fora do retângulo e linha não cruza janela

Algoritmos de recorte

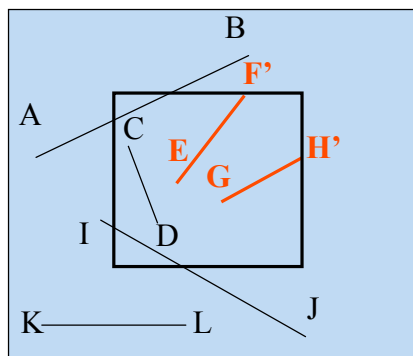
Recorte de linhas: Cálculos de recorte



Um dos pontos da linha está fora e outro está dentro da janela

Algoritmos de recorte

Recorte de linhas: Cálculos de recorte

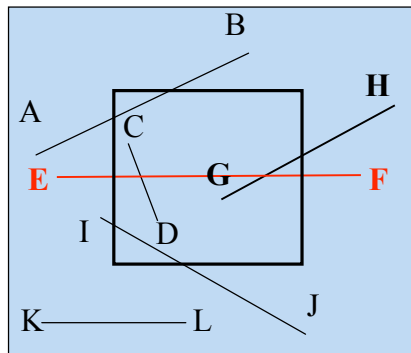


Um dos pontos da linha está fora e outro está dentro da janela

Linha deve ser recortada

Algoritmos de recorte

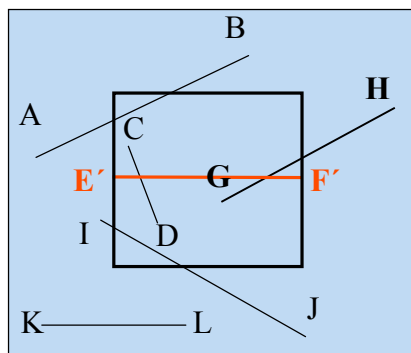
Recorte de linhas: Cálculos de recorte



Os dois pontos estão fora

Algoritmos de recorte

Recorte de linhas: Cálculos de recorte

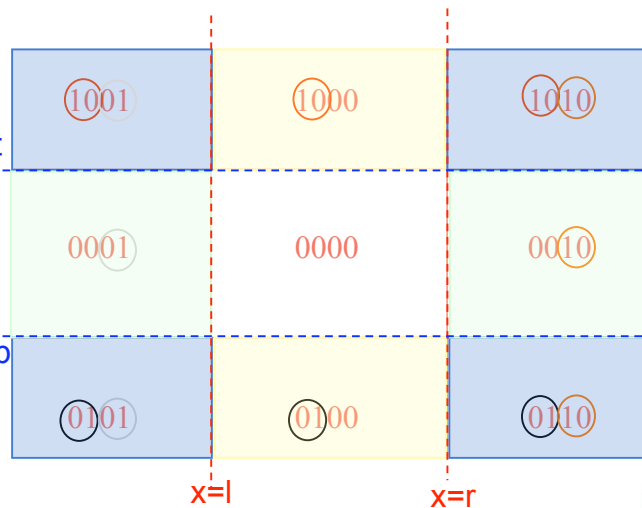


Os dois pontos estão fora

Linha deve ser recortada

Algoritmo de Cohen-Sutherland

- Maneira eficiente de determinar os diferentes casos
- Divide a região em 9 subespaços
- Atribuição de códigos aos espaços



Cohen-Sutherland Outcodes

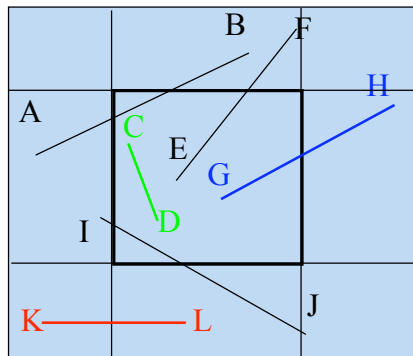
If $y > t$ → seta primeiro bit em 1
If $y < b$ → seta segundo bit em 1
If $x > r$ → seta terceiro bit em 1
If $x < l$ → seta quarto bit em 1

<http://www.cs.princeton.edu/~min/cs426/jar/clip.html>

↪ Applet exemplificando o algoritmo

Cohen-Sutherland

Usando os outcodes



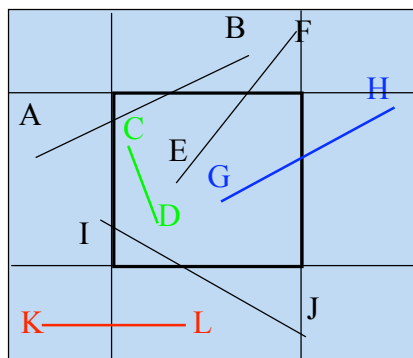
- Como devem ser os outcodes dos pontos trivialmente aceitos?

- Dos pontos trivialmente recusados?

- O que fazer com os que não são nem aceitos nem recusados?

Cohen-Sutherland

Usando os outcodes



- Como devem ser os outcodes dos pontos trivialmente aceitos?
0000

- Dos pontos trivialmente recusados?
AND bitwise diferente de 0!

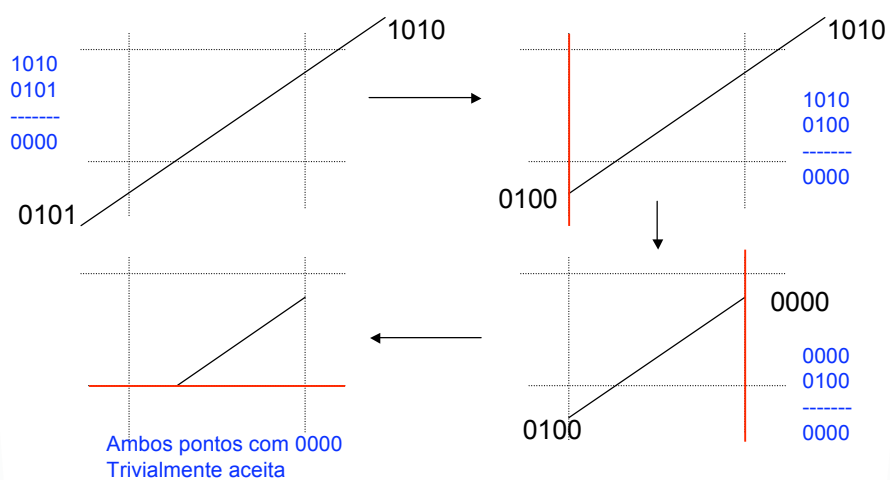
- O que fazer com os que não são nem aceitos nem recusados? Recorte por segmentos

Passos

1. Pontos são verificados para aceite e rejeição trivial utilizando os *outcodes*
2. Caso a linha precise ser recortada, divide em segmentos pelo limite da janela
3. Recorte iterativo até que a linha passe o teste de trivialmente aceita ou trivialmente rejeitada

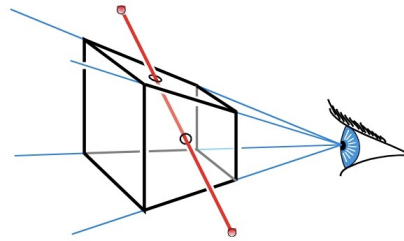
Cohen-Sutherland

Exemplo (ordem arestas l,r,b,t)



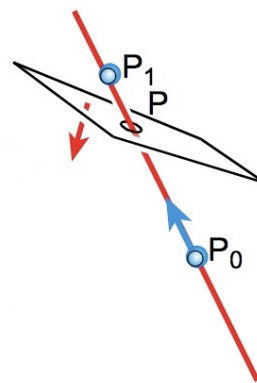
Recorte 3D

- Extensão de Cohen-Sutherland para 3D
- 6 outcodes ao invés de 4
 - ♦ bit 1: ponto está acima do volume
 - ♦ bit 2: ponto está abaixo do volume
 - ♦ bit 3: ponto está à direita do volume
 - ♦ bit 4: ponto está à esquerda do volume
 - ♦ bit 5: ponto está atrás do volume
 - ♦ bit 6: ponto está à frente do volume
- Os casos permanecem os mesmos



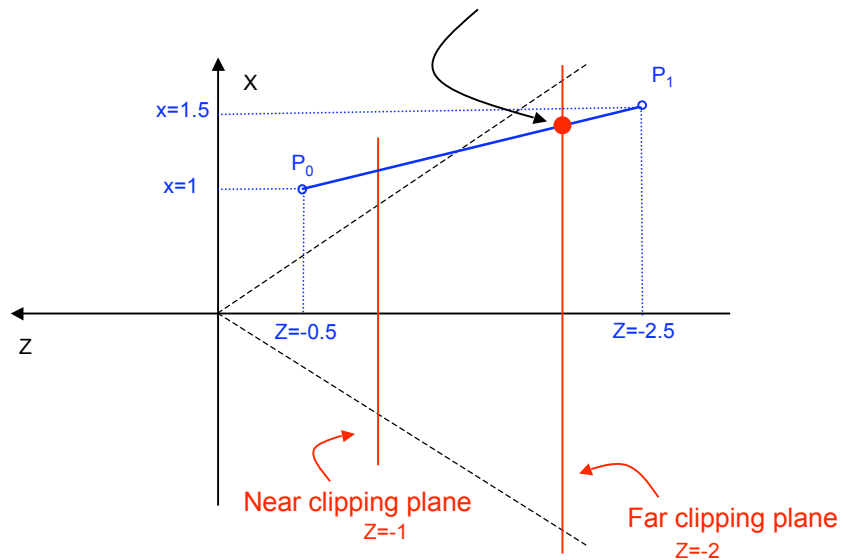
Calculando as intersecções

- Utilizamos a representação paramétrica de uma reta que passa por 2 pontos P_0 e P_1
- $L(t) = (1 - t) \cdot P_0 + t \cdot P_1$
- Substituímos esta equação na equação do plano que estamos recortando contra (genericamente $Ax + By + Cz + D = 0$)



Exemplo

Qual o ponto de intersecção entre o segmento de reta dado por P_0P_1 e o plano $z=-2$?



- Eq paramétrica da reta

- ♦ $L(t) = (1 - t) P_0 + t P_1$

- ♦ $L_x(t) = (1 - t) 1 + 1.5 t$ *

- ♦ $L_z(t) = (1 - t) (-0.5) + -2.5t$ **

- Eq do plano $z = -2$

- Subs eq do plano em ** temos:

$$-2 = -0.5 + 0.5t - 2.5t$$

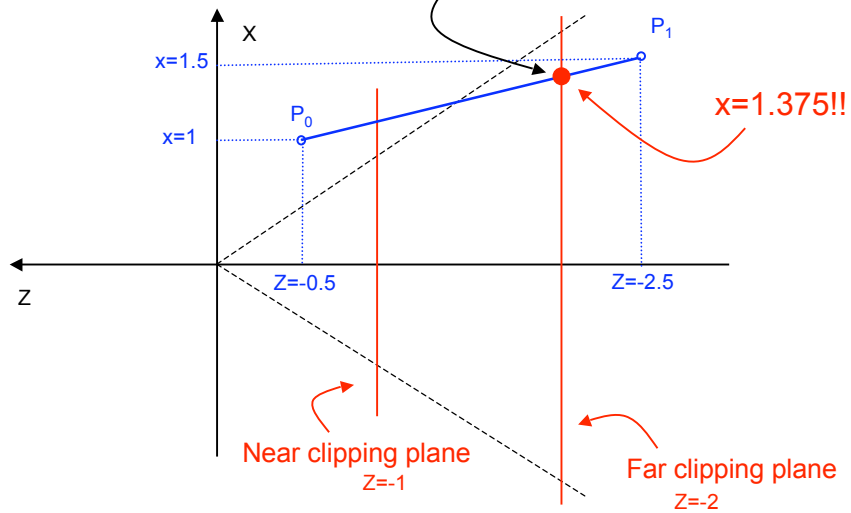
$$t = 1.5/2 = 0.75$$

- Fazendo $t=0.75$ em * temos

$$L_x(0.75) = (1-0.75) 1 + 1.5 (0.75) = 1.375$$

Exemplo

Qual o ponto de intersecção entre o segmento de reta dado por P_0P_1 e o plano $z=-2$?



Transformações
Modelagem

Iluminação
(*Shading*)

Transformação
Câmera

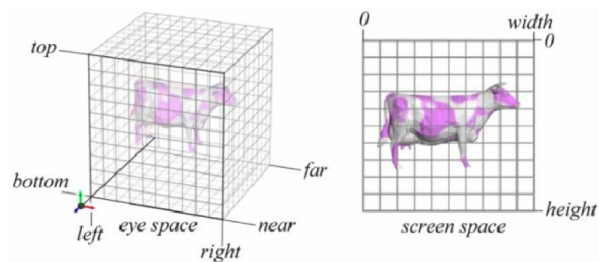
Recorte

Projeção

Rasterização

Visibilidade

Resumo

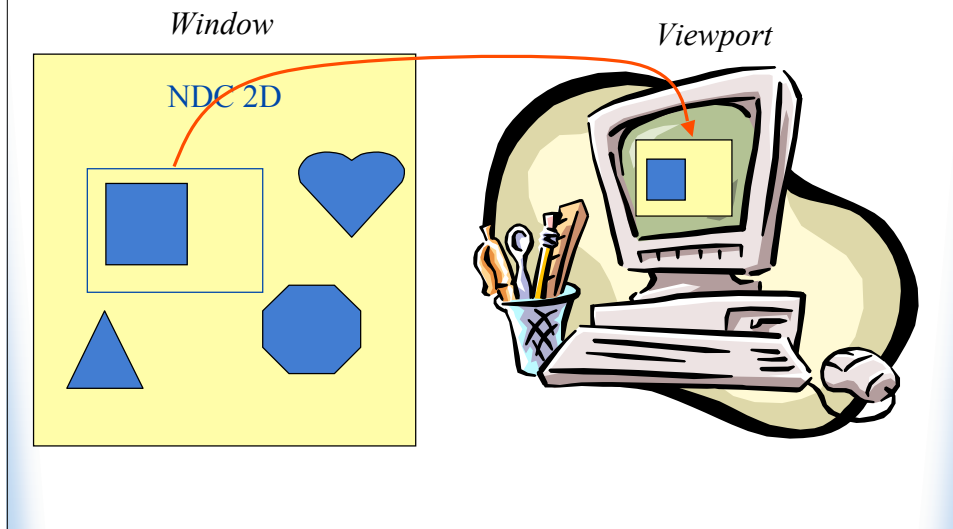


NDC

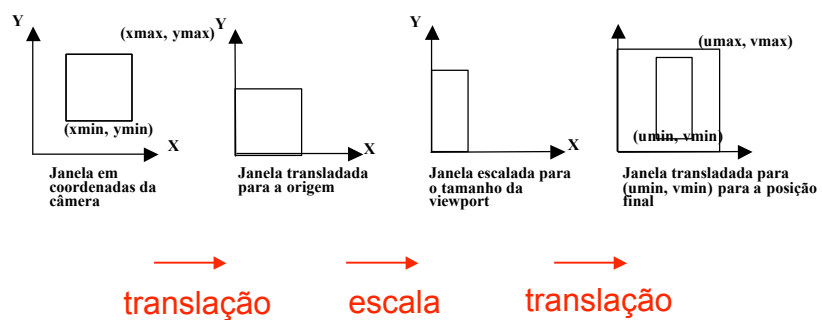
Coordenadas
de Tela

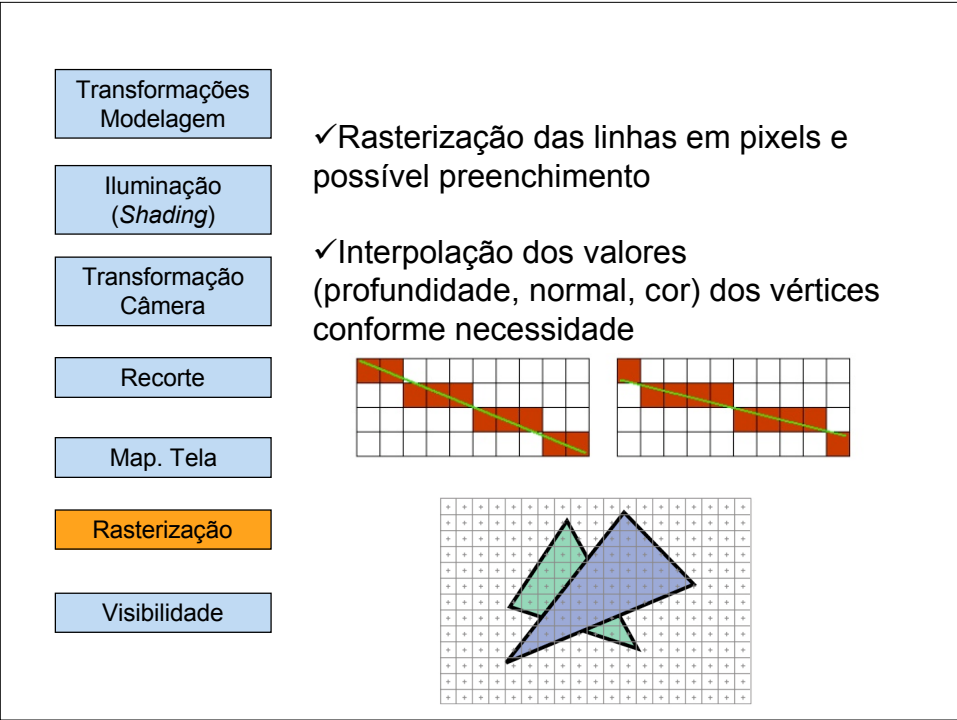
✓ Os vértices são projetados para coordenadas de tela

Onde estamos na tela?



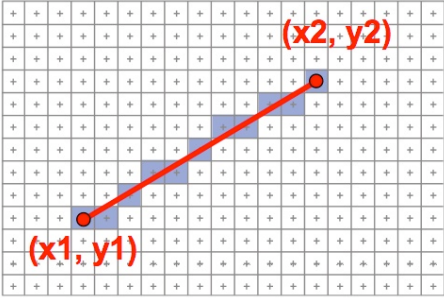
Transformação Window-to-Viewport





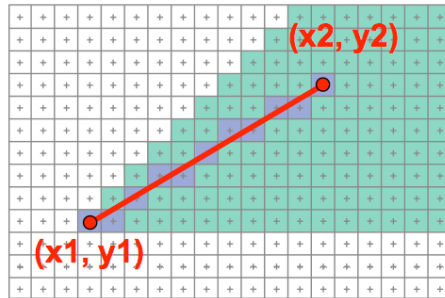
Algoritmos de rasterização

- Objetivo
 Aproximar primitivas matemáticas descritas através de vértices em *coordenadas reais* por meio de um conjunto de pixels em *coordenadas inteiras*



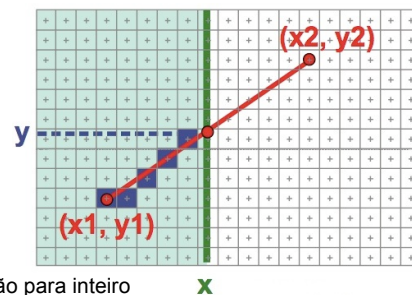
Algoritmos de rasterização

- Assumiremos $m = dy/dx$
 $0 < m \leq 1$
- Exatamente um pixel por coluna



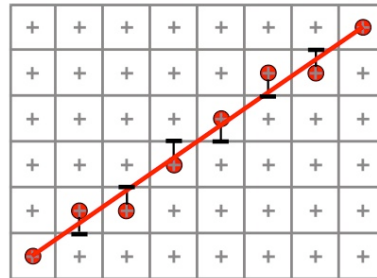
Algoritmo Incremental

- Calcula y em função de x
 - ♦ X sempre avança 1
 - ♦ Y acompanha de acordo com eq da reta
 - ♦ $y = y_1 + m(x - x_1)$
 - ♦ $y = y_1 + m$
 - ♦ $y_{tela} = \text{floor}(y+0.5)$



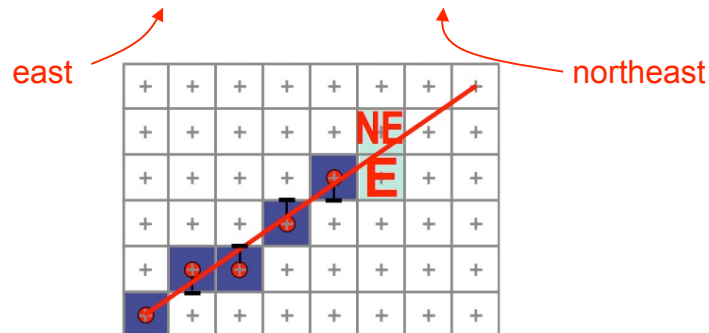
Algoritmo do Ponto Médio

- Bresenham - 1962
 - ♦ Atrativo porque usa somente operações aritméticas (não usa *round* ou *floor*)
 - ♦ Obtém mesma seqüência do algoritmo anterior
 - ♦ É incremental (usa o último resultado)



Bresenham Algoritmo do Ponto Médio

- Observação chave
Se estivermos no pixel (x_i, y_i) o próximo pixel ou é **E** (x_i+1, y_i) ou **NE** (x_i+1, y_i+1)



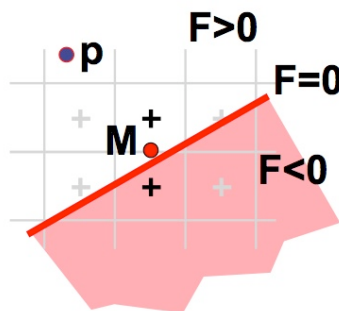
Qual pixel escolher? E ou NE?

- **E** se o segmento passar *abaixo* ou *sobre* o ponto médio M
- **NE** se o segmento passar *acima* do ponto médio M



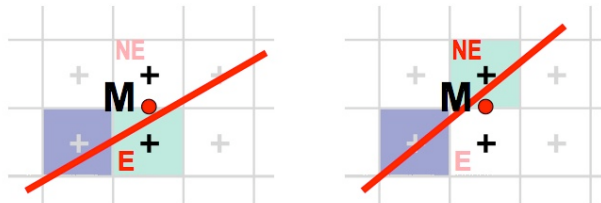
Como saber onde passa o segmento?

- Eq. da reta
 $y = mx + b \rightarrow y - mx - b = 0$
 $F(x,y) = y - mx - b$
- O valor de $F(x,y)$ nos diz onde o ponto está em relação à reta verticalmente
 - ♦ $F(x,y) = 0 \rightarrow$ Ponto está **NA** linha
 - ♦ $F(x,y) > 0 \rightarrow$ Ponto está **ACIMA** da linha
 - ♦ $F(x,y) < 0 \rightarrow$ Ponto está **ABAIXO** da linha



Decision Function

- Qual as coordenadas do ponto médio?
($x+1$, $y + 0.5$)
- $D(x,y) = y - mx - b$
 - ♦ $D(x,y) < 0 \rightarrow$ escolhe NE
 - ♦ $D(x,y) > 0 \rightarrow$ escolhe E
 - ♦ $D(x,y) = 0 \rightarrow$ arbitrariamente escolhe uma possibilidade (consistentemente)

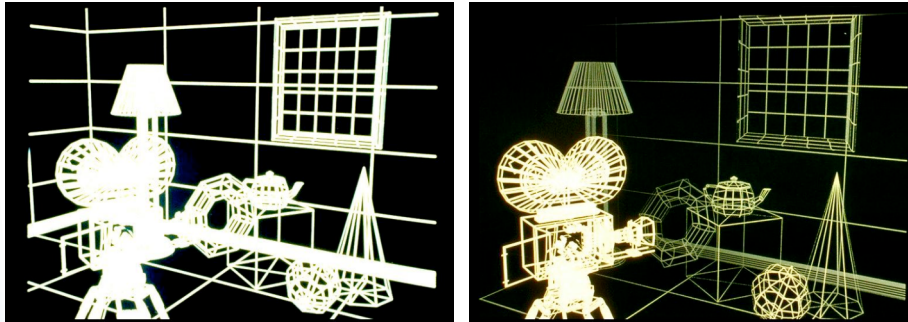


Outros tipos de retas

- Caso for horizontal ou vertical tratar como caso especial
- Caso $x_1 > x_2$ inverter ordem dos pontos
- Para as outras inclinações de segmentos generalização do caso visto (não veremos aqui...)

Objetivo Principal

Aumento do realismo



O que foi feito aqui?

Duas Abordagens

- A primeira abordagem determina quais dos n objetos são visíveis em cada pixel da imagem (**precisão de imagem**)

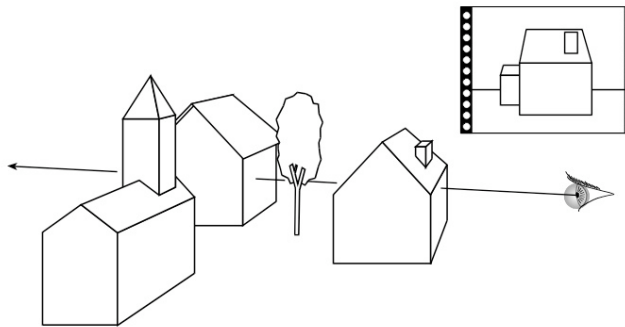
```
para( cada pixel na imagem)
{
    determinar o objeto mais próximo do observador;
    desenhar o pixel na cor apropriada;
}
```

- A segunda abordagem compara objetos diretamente uns com os outros, eliminando objetos inteiros ou porções deles que não são visíveis (**precisão de objeto**)

```
para( cada objeto no mundo)
{
    determinar as partes do objeto cuja visão não está obstruída
    por outras partes dele ou de qualquer outro objeto;
    desenhar essas partes na cor apropriada;
}
```

Primeira Abordagem

- Ray Casting*



*veremos com mais detalhes nas próximas aulas

Segunda Abordagem

- Mais genérica e resolve o problema de forma exata, independentemente da resolução da imagem
- Dados n objetos complexidade n^2
- Testar cada objeto com todos os outros

```
para( cada objeto no mundo)
{
    determinar as partes do objeto cuja visão não está obstruída
    por outras partes dele ou de qualquer outro objeto;
    desenhar essas partes na cor apropriada;
}
```

Z-Buffer

Depth Buffer

- Criado por Catmull (1974)
- Idéia:
 - ♦ Na etapa de rasterização, considerar z, além de x e y
 - ♦ Além do *framebuffer*, teremos um *depth buffer* (z buffer), onde estarão armazenados os z's
 - ♦ Inicialmente, setamos todo o z-buffer para infinito (ou para o *far clipping plane*)
 - ♦ *Framebuffer* é todo setado para cor de fundo

Z-Buffer

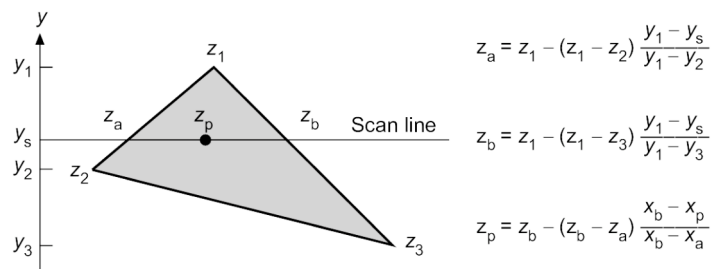
- Realizar a etapa de rasterização, usando a seguinte rotina para preencher o *framebuffer*

```
WritePixel(int x, int y, float z, colour)
if ( z < zbuf[x][y] ) then
    zbuf[x][y] = z;
    framebuffer[x][y] = colour;
end
```

- Ou seja, o buffer armazena o pixel mais próximo até então em (x,y)
- Não renderiza um pixel se ele tem a profundidade maior que z[x][y]

Z-Buffer

- Determinando profundidades



Z-Buffer

- Vantagens
 - ♦ Fácil de implementar
 - ♦ Simples de implementar em hardware
 - ♦ Objetos não precisam ser necessariamente polígonos
- Desvantagens
 - ♦ Consome muita memória
 - Se diminuir memória, podem ocorrer erros
 - faces A = 0.89485, B = 0.89501 / Round: A = 0.895, B = 0.895
 - Renderiza A, depois B (Fica B, errado!, pois A é mais próxima)
 - ♦ Dependente do dispositivo
 - ♦ O algoritmo pode desenhar um pixel muitas vezes

